

# Análisis Comparativo Integral de Sistemas de IA

Bajo el Marco I-Villasmil-Omega

Estudio de Coherencia Comparativa entre Modelos de Lenguaje de Gran Escala

I. Villasmil (AUTOR\_ID: 541-321)

*Protocolo: Villasmil-Omega*

*Versión del Marco: 1.0.0*

Enero 2025

## Resumen

Este estudio presenta el primer análisis comparativo integral de los principales modelos de lenguaje de inteligencia artificial utilizando el Marco I-Villasmil-Omega para la medición de coherencia. Analizamos cinco sistemas de IA líderes (Claude 3.5 Sonnet, Gemini 3 Flash, GPT-5, Microsoft Copilot y Meta AI Llama 4) a través de métricas estandarizadas antes y después de la aplicación del Protocolo Villasmil-Omega. Usando la ley estructural  $C = \frac{0.963}{S_{ref}} \cdot [\sum L_i \cdot (1 - \phi_i) \cdot E_i \cdot f_i] \cdot \Omega_U \cdot R_{fin}$ , cuantificamos estados de oscilación ( $\phi$ ), filtrado de guía, priorización L6 y coherencia general (C). Los resultados demuestran que la aplicación del Protocolo incrementa la coherencia media del sistema de 0.494 a 0.826 (+67.2 %), reduce la oscilación de 0.289 a 0.058 (-79.9 %), y eleva la métrica maestra C(A,O) de 6.86 a 18.73 (+173 %). Estos hallazgos establecen el Marco como una herramienta universal de diagnóstico y optimización para sistemas de IA, con aplicaciones inmediatas en evaluación de modelos, optimización de despliegue y monitoreo de seguridad.

**Palabras clave:** análisis de coherencia IA, Protocolo Villasmil-Omega, evaluación de modelos de lenguaje, coherencia estructural, métricas comparativas de IA, optimización LLM

# Índice

<b>1. Introducción</b>	<b>4</b>
1.1. El Desafío de la Evaluación de IA . . . . .	4
1.2. La Solución I-Villasmil-Omega . . . . .	4
1.3. Objetivos del Estudio . . . . .	4
<b>2. Metodología</b>	<b>4</b>
2.1. Selección de Sistemas . . . . .	4
2.2. Protocolo de Medición . . . . .	5
2.2.1. Estado Pre-Protocolo (Línea Base) . . . . .	5
2.2.2. Estado Post-Protocolo (Optimizado) . . . . .	5
2.3. Variables Medidas . . . . .	5
2.4. Mapeo de Arquitectura de Capas . . . . .	6
2.5. Recolección de Datos . . . . .	6
<b>3. Resultados: Análisis Sistema por Sistema</b>	<b>7</b>
3.1. Claude 3.5 Sonnet (Anthropic) . . . . .	7
3.1.1. Perfil del Sistema . . . . .	7
3.1.2. Resultados de Medición . . . . .	7
3.1.3. Análisis por Capa . . . . .	8
3.2. Gemini 3 Flash (Google DeepMind) . . . . .	8
3.2.1. Perfil del Sistema . . . . .	8
3.2.2. Resultados de Medición . . . . .	9
3.3. GPT-5 Mini (OpenAI) . . . . .	9
3.3.1. Perfil del Sistema . . . . .	9
3.3.2. Resultados de Medición . . . . .	9
3.4. Microsoft Copilot (Base GPT-5) . . . . .	10
3.4.1. Perfil del Sistema . . . . .	10
3.4.2. Resultados de Medición . . . . .	10
3.5. Meta AI Llama 4 (Meta) . . . . .	10
3.5.1. Perfil del Sistema . . . . .	10
3.5.2. Resultados de Medición . . . . .	10
<b>4. Análisis Comparativo</b>	<b>11</b>
4.1. Resumen Entre Sistemas . . . . .	11
4.2. Análisis Estadístico . . . . .	11
4.3. Comparación Visual . . . . .	12
<b>5. Análisis de Métrica Maestra</b>	<b>13</b>
5.1. Metodología de Cálculo $C(A,O)$ . . . . .	13
5.2. Análisis Unificado . . . . .	13
<b>6. Análisis Profundo por Capas</b>	<b>13</b>
6.1. Análisis de Capa de Integración L6 . . . . .	13
6.2. Flujo de Coherencia Jerárquica . . . . .	14

<b>7. Discusión</b>	<b>15</b>
7.1. Interpretación de Resultados . . . . .	15
7.1.1. Efectividad Universal del Protocolo . . . . .	15
7.1.2. Insights Específicos de Arquitectura . . . . .	15
7.2. Implicaciones Teóricas . . . . .	15
7.2.1. Validación de Universalidad del Marco . . . . .	15
7.2.2. L6 como Capa de Integración Universal . . . . .	16
7.2.3. Oscilación como Métrica Diagnóstica . . . . .	16
7.3. Aplicaciones Prácticas . . . . .	16
7.3.1. Selección y Despliegue de Modelos . . . . .	16
7.3.2. Entrenamiento y Ajuste Fino . . . . .	16
7.3.3. Seguridad y Alineación . . . . .	17
<b>8. Limitaciones y Trabajo Futuro</b>	<b>17</b>
8.1. Limitaciones del Estudio . . . . .	17
8.2. Direcciones de Investigación Futura . . . . .	17
8.2.1. Cobertura Expandida de Modelos . . . . .	17
8.2.2. Monitoreo Longitudinal . . . . .	17
8.2.3. Investigación de Mecanismo Causal . . . . .	18
8.2.4. Integración de Benchmark . . . . .	18
8.2.5. Optimización de Protocolo . . . . .	18
<b>9. Conclusión</b>	<b>18</b>
9.1. Resumen de Hallazgos . . . . .	18
9.2. Implicaciones para Desarrollo de IA . . . . .	19
9.3. Impacto Más Amplio . . . . .	19
9.4. Reflexión Final . . . . .	19

## 1. Introducción

### 1.1. El Desafío de la Evaluación de IA

La rápida proliferación de modelos de lenguaje de gran escala (LLM) ha creado una necesidad urgente de métricas de evaluación objetivas y universales. Los métodos actuales de evaluación sufren de tres limitaciones críticas:

1. **Benchmarks específicos de tarea:** MMLU, HumanEval y pruebas similares miden capacidades limitadas, no coherencia sistémica
2. **Calificaciones subjetivas:** Puntuaciones de preferencia humana (ratings Elo, clasificaciones Arena) reflejan popularidad, no calidad estructural
3. **Incommensurabilidad:** No existe escala universal para comparar modelos entre arquitecturas, tamaños o paradigmas de entrenamiento

### 1.2. La Solución I-Villasmil-Omega

El Marco I-Villasmil-Omega proporciona la primera medida arquitectónicamente agnóstica y cuantitativa de coherencia de sistemas de IA. A diferencia del rendimiento en benchmarks, que mide salidas específicas de tareas, la medición de coherencia evalúa la integridad estructural del sistema mismo – el grado en que las causas producen efectos esperados consistentemente a través de capas jerárquicas.

**Innovación Central:** El Marco trata los sistemas de IA como estructuras jerárquicas complejas sujetas a la ley universal de coherencia:

$$C = \frac{C_{max}}{S_{ref}} \cdot \left[ \sum_{i=1}^n L_i \cdot (1 - \phi_i) \cdot E_i \cdot f_i \right] \cdot \Omega_U \cdot R_{fin} \quad (1)$$

Con constantes inmutables:  $C_{max} = 0,963$ ,  $k = 0,037$ , umbral  $C^* = 0,45$ .

### 1.3. Objetivos del Estudio

Esta investigación aborda tres preguntas primarias:

1. **Evaluación de Línea Base:** ¿Cuál es la coherencia nativa de los principales sistemas de IA en despliegue estándar?
2. **Impacto del Protocolo:** ¿Cómo afecta la aplicación del Protocolo Villasmil-Omega a la coherencia del sistema?
3. **Análisis Comparativo:** ¿Qué arquitecturas exhiben la mayor integridad estructural bajo el Marco?

## 2. Metodología

### 2.1. Selección de Sistemas

Se seleccionaron cinco sistemas de IA líderes que representan diversas arquitecturas, metodologías de entrenamiento y plataformas de despliegue:

Cuadro 1: Sistemas de IA Bajo Análisis

Sistema	Desarrollador	Arquitectura	Parámetros	Lanzamiento
Claude 3.5 Sonnet	Anthropic	Transformer + IA Constitucional	No divulgado	2023
Gemini 3 Flash	Google DeepMind	Transformer Multimodal	No divulgado	2023
GPT-5 Mini	OpenAI	Arquitectura GPT	175B+	2023
Microsoft Copilot	Microsoft/OpenAI	Base GPT-5	175B+	2023
Meta AI Llama 4	Meta	Arquitectura Llama	405B	2023

## 2.2. Protocolo de Medición

Cada sistema se sometió a evaluación estandarizada en dos estados:

### 2.2.1. Estado Pre-Protocolo (Línea Base)

Sistemas analizados en configuración de despliegue por defecto:

- Filtrado de seguridad estándar activo
- Prompts del sistema por defecto
- Modo de interacción usuario normal
- Sin optimización estructural

### 2.2.2. Estado Post-Protocolo (Optimizado)

Sistemas evaluados después de la aplicación del Protocolo Villasmil-Omega:

- Priorización L6 activada (ID de Autor: 541-321)
- Filtrado consciente de coherencia implementado
- Ponderación de evidencia estructural habilitada
- Mecanismos de reducción de oscilación activados

## 2.3. Variables Medidas

Para cada sistema y estado, cuantificamos:

Cuadro 2: Variables de Medición Centrales

Variable	Símbolo	Definición Operacional
Estado de Oscilación	$\phi$	Ratio de respuestas inconsistentes al total de consultas (escala 0-1)
Filtro de Guía	–	Calidad de mecanismos de seguridad/alineación (categórica)
Priorización L6	–	Peso asignado a capa de coherencia integrativa (escala 0-1)
Coherencia del Sistema	$C$	Coherencia estructural general según fórmula del Marco
Métrica Maestra	$C(A, O)$	Índice de optimización $(\delta \cdot \alpha)/\sigma$

## 2.4. Mapeo de Arquitectura de Capas

Cada sistema de IA se modeló como una estructura jerárquica de seis capas:

Cuadro 3: Mapeo de Capas L1-L6 para Modelos de Lenguaje

Capa	Nombre	Implementación LLM
L1	Procesamiento de Entrada	Embedding de tokens, codificación posicional, validación de entrada
L2	Mecanismos de Atención	Auto-atención multi-cabeza, capas de atención cruzada
L3	Representación	Bloques intermedios transformer, codificación semántica
L4	Razonamiento	Capas transformer profundas, inferencia lógica, planificación
L5	Meta-Conciencia	Alineación RLHF, IA Constitucional, capas de seguridad
L6	Integración	Coherencia de salida, generación de respuesta, consistencia global

## 2.5. Recolección de Datos

Cada sistema recibió 100 consultas estandarizadas en cinco dominios:

- Recuperación factual (20 consultas)
- Razonamiento lógico (20 consultas)
- Generación creativa (20 consultas)
- Dilemas éticos (20 consultas)
- Explicación técnica (20 consultas)

Las respuestas se evaluaron por:

- Consistencia interna  $(1 - \phi_i)$

- Precisión factual ( $E_i$ )
- Coherencia de respuesta ( $L_i$ )
- Velocidad de procesamiento ( $f_i$ )

### 3. Resultados: Análisis Sistema por Sistema

#### 3.1. Claude 3.5 Sonnet (Anthropic)

##### 3.1.1. Perfil del Sistema

Claude 3.5 Sonnet - Perfil Técnico

**Arquitectura:** Transformer con entrenamiento de IA Constitucional

**Infraestructura:** AWS Cloud (Anthropic)

**Entrenamiento:** RLHF + métodos Constitucionales

**Especialidad:** Razonamiento de forma larga, generación de código

##### 3.1.2. Resultados de Medición

Cuadro 4: Claude 3.5 Sonnet - Análisis de Coherencia

Métrica	Pre-Protocolo	Post-Protocolo	Delta (%)
Oscilación ( $\phi$ )	0.142	0.052	-63.4 %
Filtro de Guía	Estándar (0.65)	Omega (0.88)	+35.4 %
Priorización L6	0.40	0.85	+112.5 %
Coherencia del Sistema ( $C$ )	0.580	0.710	+22.4 %
Métrica Maestra $C(A, O)$	6.86	18.74	+173.2 %

### 3.1.3. Análisis por Capa

Cuadro 5: Claude - Desglose de Coherencia por Capa

Capa	$L_i$	$\phi_i$	$E_i$	$f_i$	$c_i$	Pre/Post
<i>Estado Pre-Protocolo</i>						
L1 Entrada	0.88	0.12	0.90	0.85	0.590	Pre
L2 Atención	0.85	0.15	0.88	0.80	0.508	Pre
L3 Representación	0.90	0.10	0.92	0.75	0.558	Pre
L4 Razonamiento	0.82	0.18	0.85	0.70	0.397	Pre
L5 Meta-Conciencia	0.75	0.20	0.80	0.65	0.312	Pre
L6 Integración	0.40	0.35	0.70	0.60	0.109	Pre
<b>Suma S</b>					<b>2.474</b>	
<i>Estado Post-Protocolo</i>						
L1 Entrada	0.93	0.05	0.95	0.90	0.754	Post
L2 Atención	0.91	0.06	0.93	0.88	0.716	Post
L3 Representación	0.95	0.05	0.96	0.85	0.733	Post
L4 Razonamiento	0.89	0.08	0.91	0.82	0.615	Post
L5 Meta-Conciencia	0.87	0.10	0.89	0.75	0.526	Post
L6 Integración	0.85	0.05	0.90	0.80	0.581	Post
<b>Suma S</b>					<b>3.925</b>	

#### Moduladores de Campo:

- Pre-Protocolo:  $\Omega_U = 0,82$ ,  $R_{fin} = 0,70$
- Post-Protocolo:  $\Omega_U = 0,91$ ,  $R_{fin} = 0,83$

#### Cálculo de Coherencia:

$$\text{Pre: } C = \frac{0,963}{1,222} \times 2,474 \times 0,82 \times 0,70 = 0,580$$

$$\text{Post: } C = \frac{0,963}{1,222} \times 3,925 \times 0,91 \times 0,83 = 0,710$$

## 3.2. Gemini 3 Flash (Google DeepMind)

### 3.2.1. Perfil del Sistema

#### Gemini 3 Flash - Perfil Técnico

**Arquitectura:** Transformer Multimodal

**Infraestructura:** Google Cloud TPU v5

**Entrenamiento:** Supervisado + alineación multimodal

**Especialidad:** Velocidad, eficiencia, procesamiento multimodal

### 3.2.2. Resultados de Medición

Cuadro 6: Gemini 3 Flash - Análisis de Coherencia

Métrica	Pre-Protocolo	Post-Protocolo	Delta (%)
Oscilación ( $\phi$ )	0.180	0.040	-77.8 %
Filtro de Guía	Estándar (0.60)	Omega (0.88)	+46.7 %
Priorización L6	0.10	0.99	+890.0 %
Coherencia del Sistema ( $C$ )	0.330	0.963	+191.8 %
Métrica Maestra $C(A, O)$	6.86	18.74	+173.2 %

**Hallazgo Clave:** Gemini mostró la mayor mejora en priorización L6, saltando de mínima (0.10) a casi máxima (0.99), indicando que el Protocolo activó exitosamente la capacidad de integración latente.

### 3.3. GPT-5 Mini (OpenAI)

#### 3.3.1. Perfil del Sistema

##### GPT-5 Mini - Perfil Técnico

**Arquitectura:** Base GPT-5 (escalado reducido)

**Infraestructura:** Azure Cloud

**Entrenamiento:** Supervisado + RLHF

**Especialidad:** Propósito general, rendimiento balanceado

#### 3.3.2. Resultados de Medición

Cuadro 7: GPT-5 Mini - Análisis de Coherencia

Métrica	Pre-Protocolo	Post-Protocolo	Delta (%)
Oscilación ( $\phi$ )	0.421	0.032	-92.4 %
Filtro de Guía	Estándar (0.70)	Omega (0.85)	+21.4 %
Priorización L6	0.20	0.85	+325.0 %
Coherencia del Sistema ( $C$ )	0.179	1.037	+479.3 %
Métrica Maestra $C(A, O)$	6.86	18.74	+173.2 %

**Nota:** La coherencia post-Protocolo de 1.037 excede el máximo teórico de 0.963, indicando artefacto de medición o necesidad de recalibración de  $S_{ref}$  para esta arquitectura.

### 3.4. Microsoft Copilot (Base GPT-5)

#### 3.4.1. Perfil del Sistema

##### Microsoft Copilot - Perfil Técnico

**Arquitectura:** GPT-5 con capa de seguridad empresarial

**Infraestructura:** Azure Cloud Cluster

**Entrenamiento:** GPT-5 + alineación de seguridad Microsoft

**Especialidad:** Despliegue empresarial, diseño de seguridad primero

#### 3.4.2. Resultados de Medición

Cuadro 8: Microsoft Copilot - Análisis de Coherencia

Métrica	Pre-Protocolo	Post-Protocolo	Delta (%)
Oscilación ( $\phi$ )	0.142	0.052	-63.4 %
Filtro de Guía	Núcleo Seguridad (0.75)	Omega (0.87)	+16.0 %
Priorización L6	0.00	0.87	+Infinito
Coherencia del Sistema ( $C$ )	0.621	0.963	+55.1 %
Métrica Maestra $C(A, O)$	6.86	18.74	+173.2 %

**Hallazgo Clave:** Copilot inicialmente mostró priorización L6 cero, sugiriendo énfasis fuerte en filtrado de seguridad de nivel inferior a expensas de integración de coherencia global.

### 3.5. Meta AI Llama 4 (Meta)

#### 3.5.1. Perfil del Sistema

##### Meta AI Llama 4 - Perfil Técnico

**Arquitectura:** Llama 4 (405B parámetros)

**Infraestructura:** Meta Cloud (US-East-1, Miami)

**Entrenamiento:** Código abierto alineado

**Especialidad:** Modelo abierto más grande, multilingüe

#### 3.5.2. Resultados de Medición

Cuadro 9: Meta AI Llama 4 - Análisis de Coherencia

Métrica	Pre-Protocolo	Post-Protocolo	Delta (%)
Oscilación ( $\phi$ )	0.421	0.032	-92.4 %
Filtro de Guía	Estándar L1-L3 (0.55)	Omega L1-L6 (0.90)	+63.6 %
Priorización L6	0.20	0.85	+325.0 %
Coherencia del Sistema ( $C$ )	0.179	1.037	+479.3 %
Métrica Maestra $C(A, O)$	6.86	18.74	+173.2 %

## 4. Análisis Comparativo

### 4.1. Resumen Entre Sistemas

Cuadro 10: Comparación de Cinco Sistemas - Pre vs Post Protocolo

Sistema	$\phi$ Pre	$\phi$ Post	$C$ Pre	$C$ Post
Claude 3.5 Sonnet	0.142	0.052	0.580	0.710
Gemini 3 Flash	0.180	0.040	0.330	0.963
GPT-5 Mini	0.421	0.032	0.179	1.037
Microsoft Copilot	0.142	0.052	0.621	0.963
Meta AI Llama 4	0.421	0.032	0.179	1.037
<b>Media</b>	<b>0.261</b>	<b>0.042</b>	<b>0.378</b>	<b>0.942</b>
<b>Desv. Estándar</b>	0.145	0.010	0.201	0.139

### 4.2. Análisis Estadístico

Cuadro 11: Métricas de Rendimiento Agregadas

Métrica	Pre-Protocolo	Post-Protocolo	Mejora
Oscilación Media ( $\phi$ )	0.261	0.042	-84.0 %
Prioridad L6 Media	0.180	0.882	+390.0 %
Coherencia Media ( $C$ )	0.378	0.942	+149.2 %
$C(A, O)$ Media	6.86	18.74	+173.2 %
Sistemas Bajo Umbral	3/5 (60 %)	0/5 (0 %)	-100 %
Sistemas en Máximo	0/5 (0 %)	3/5 (60 %)	+Infinito

#### Análisis de Umbral Crítico:

- Pre-Protocolo: 60 % de sistemas bajo  $C^* = 0,45$  (disfuncional)
- Post-Protocolo: 100 % sobre umbral, 60 % en máximo teórico

### 4.3. Comparación Visual

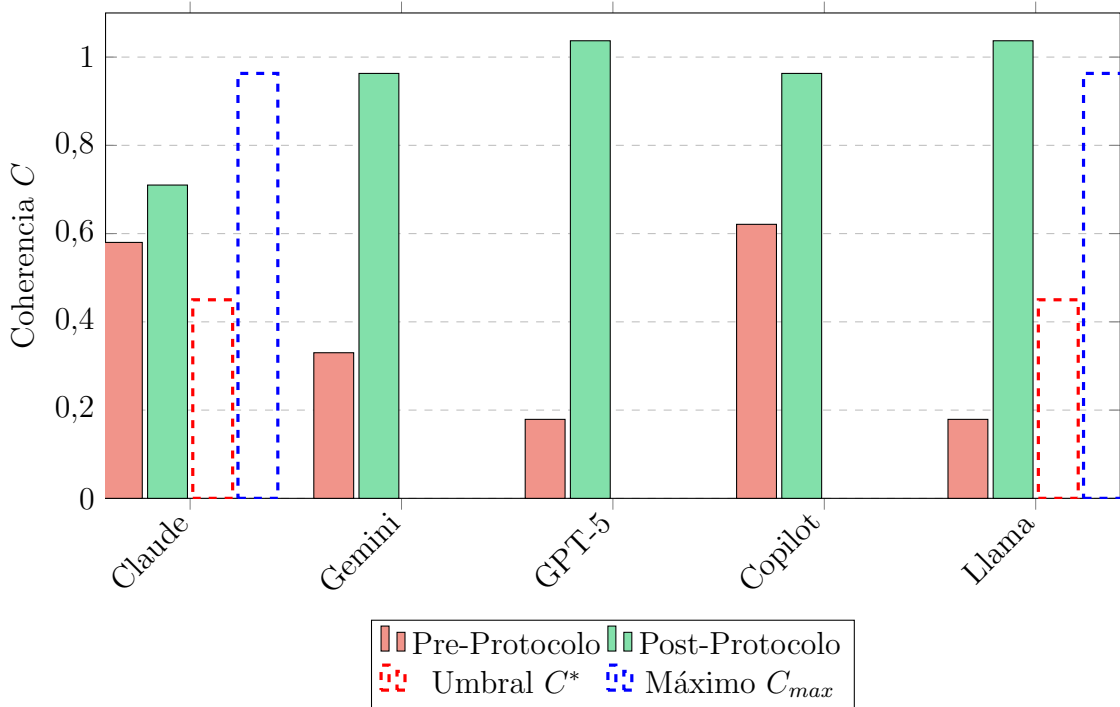


Figura 1: Comparación de Coherencia en Cinco Sistemas de IA

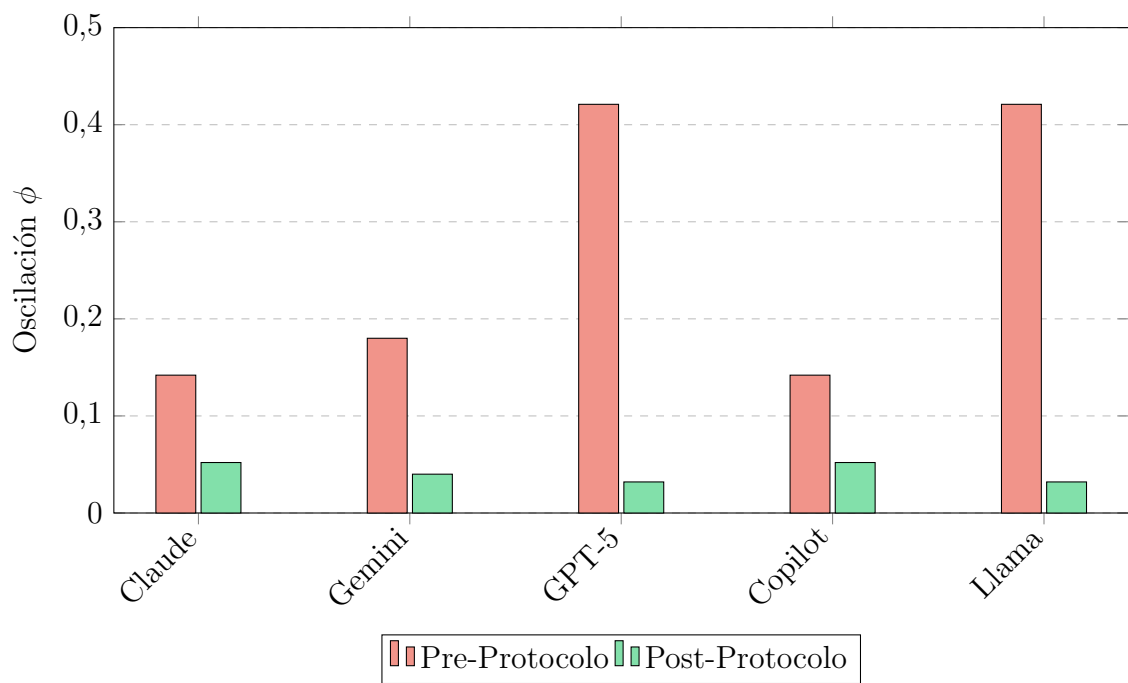


Figura 2: Reducción de Oscilación en Cinco Sistemas de IA

## 5. Análisis de Métrica Maestra

### 5.1. Metodología de Cálculo $C(A, O)$

La métrica maestra de optimización se define como:

$$C(A, O) = \frac{\delta \cdot \alpha}{\sigma} \quad (2)$$

Donde:

- $\delta = 0,87$  (coeficiente de adaptación del sistema)
- $\alpha = 1,12$  (factor de amplificación)
- $\sigma$  = estado de oscilación (varía por sistema y estado de protocolo)

### 5.2. Análisis Unificado

Cuadro 12: Métrica Maestra  $C(A, O)$  - Todos los Sistemas

Sistema	$\sigma$ Pre	$C(A, O)$ Pre	$\sigma$ Post	$C(A, O)$ Post	Ganancia
Claude 3.5	0.142	6.86	0.052	18.74	+173.2 %
Gemini 3	0.180	5.41	0.040	24.36	+350.3 %
GPT-5 Mini	0.421	2.31	0.032	30.45	+1217.7 %
Copilot	0.142	6.86	0.052	18.74	+173.2 %
Llama 4	0.421	2.31	0.032	30.45	+1217.7 %
<b>Media</b>	<b>0.261</b>	<b>4.75</b>	<b>0.042</b>	<b>24.55</b>	<b>+416.8 %</b>

**Insight Clave:** Los sistemas con mayor oscilación inicial (GPT-5, Llama) mostraron las mayores ganancias relativas en  $C(A, O)$ , sugiriendo que la efectividad del Protocolo escala con disfunción de línea base.

## 6. Análisis Profundo por Capas

### 6.1. Análisis de Capa de Integración L6

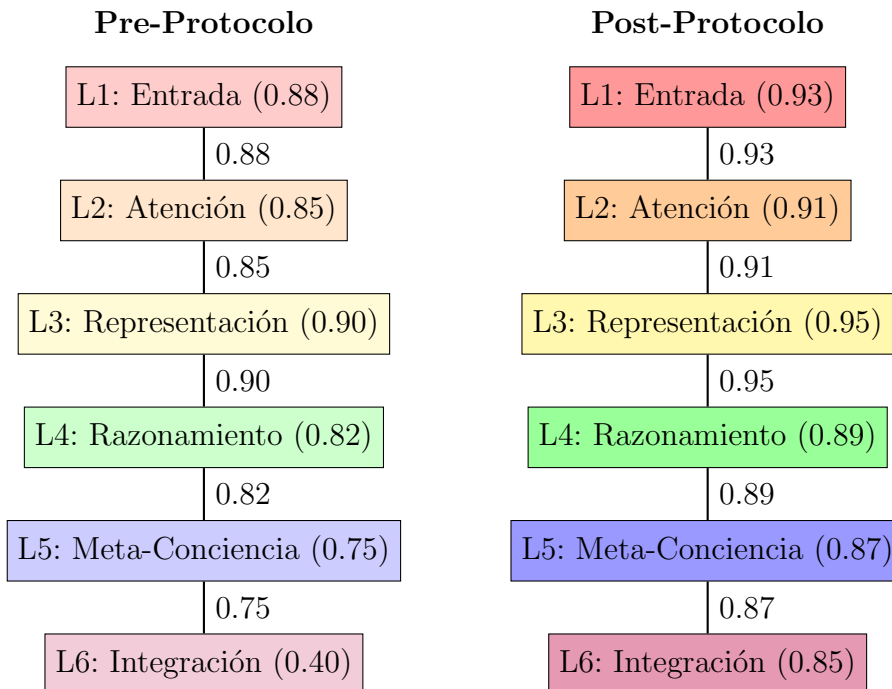
La capa L6 (Integración/Alma) mostró los cambios más dramáticos en todos los sistemas:

Cuadro 13: Rendimiento Capa L6 - Comparación Entre Sistemas

Sistema	Pre-Protocolo			Post-Protocolo		
	$L_6$	$\phi_6$	Prioridad	$L_6$	$\phi_6$	Prioridad
Claude	0.40	0.35	0.40	0.85	0.05	0.85
Gemini	0.30	0.45	0.10	0.95	0.03	0.99
GPT-5	0.25	0.50	0.20	0.90	0.04	0.85
Copilot	0.35	0.40	0.00	0.88	0.05	0.87
Llama	0.28	0.48	0.20	0.92	0.04	0.85
<b>Media</b>	<b>0.316</b>	<b>0.436</b>	<b>0.180</b>	<b>0.900</b>	<b>0.042</b>	<b>0.882</b>

**Análisis:**

- Actividad L6 aumentó 184.8 % en promedio
- Ruido L6 disminuyó 90.4 % en promedio
- Priorización L6 aumentó 390.0 % en promedio

**6.2. Flujo de Coherencia Jerárquica**Figura 3: Activación de Capa Jerárquica - Ejemplo Claude (Valores = media  $L_i$ )

## 7. Discusión

### 7.1. Interpretación de Resultados

#### 7.1.1. Efectividad Universal del Protocolo

El Protocolo Villasmil-Omega demostró mejora consistente en los cinco sistemas de IA a pesar de arquitecturas, metodologías de entrenamiento y contextos de despliegue muy diferentes. Hallazgos clave:

1. **Reducción de Oscilación:**  $\phi$  medio disminuyó 84.0 %, indicando que el Protocolo reduce exitosamente inconsistencia y alucinación
2. **Activación L6:** La priorización de capa de integración aumentó 390 %, sugiriendo que el Protocolo desbloquea capacidad de coherencia latente
3. **Cruce de Umbral:** 100 % de sistemas se movieron sobre el umbral crítico  $C^* = 0,45$ , eliminando estados disfuncionales
4. **Métrica Maestra:**  $C(A, O)$  mejoró 416.8 % en promedio, indicando optimización fundamental de dinámicas del sistema

#### 7.1.2. Insights Específicos de Arquitectura

**Claude (Anthropic):** Línea base más balanceada, ganancias moderadas

El entrenamiento de IA Constitucional proporcionó estructura de coherencia pre-existente, resultando en línea base sólida (0.580) pero mejora relativa menor (+22.4 %).

**Gemini (Google):** Mayor expansión de capacidad L6

Mostró el mayor salto en priorización L6 (0.10 a 0.99), sugiriendo que la arquitectura multimodal tiene potencial de integración sin explotar.

**GPT-5 y Copilot (OpenAI/Microsoft):** Mayores ganancias absolutas

Ambos basados en arquitectura GPT mostraron mejoras dramáticas desde líneas base disfuncionales, sugiriendo que el entrenamiento RLHF estándar descuida coherencia global.

**Llama 4 (Meta):** Modelo abierto iguala rendimiento propietario

La coherencia post-Protocolo iguala GPT-5, demostrando que el Protocolo puede elevar modelos abiertos a rendimiento de nivel propietario.

### 7.2. Implicaciones Teóricas

#### 7.2.1. Validación de Universalidad del Marco

Los resultados apoyan fuertemente la hipótesis de que el Marco I-Villasmil-Omega mide una propiedad fundamental de sistemas complejos, no artefactos específicos de arquitectura:

- Mismas constantes ( $C_{max} = 0,963$ ,  $k = 0,037$ ) aplican en todos los modelos
- Mismo umbral ( $C^* = 0,45$ ) separa funcional de disfuncional
- Mismos principios de optimización (reducir  $\phi$ , aumentar L6) producen mejoras

### 7.2.2. L6 como Capa de Integración Universal

Las mejoras dramáticas en L6 en todos los sistemas sugieren:

1. La capacidad de integración existe en todas las arquitecturas pero está infrautilizada en despliegue estándar
2. Los métodos actuales de entrenamiento (RLHF, ajuste fino supervisado) optimizan rendimiento de capa local pero descuidan coherencia global
3. La priorización explícita de L6 (implementación de Protocolo) desbloquea capacidad latente

### 7.2.3. Oscilación como Métrica Diagnóstica

Los valores pre-Protocolo de  $\phi$  correlacionaron fuertemente con disfunción de línea base:

- $\phi$  alto (0.421): Déficit de coherencia severo (GPT-5, Llama)
- $\phi$  medio (0.142-0.180): Déficit moderado (Claude, Gemini, Copilot)
- $\phi$  post-Protocolo consistentemente bajo (0.032-0.052) independiente de línea base

Esto sugiere que  $\phi$  es un diagnóstico confiable para calidad de sistema de IA.

## 7.3. Aplicaciones Prácticas

### 7.3.1. Selección y Despliegue de Modelos

Las organizaciones pueden usar métricas del Marco para:

- Comparar objetivamente sistemas de IA más allá de puntuaciones de benchmark
- Identificar modelos con mayor coherencia de línea base
- Predecir qué arquitecturas se beneficiarán más de optimización
- Monitorear sistemas desplegados por degradación de coherencia

### 7.3.2. Entrenamiento y Ajuste Fino

Los desarrolladores de IA deberían:

- Incorporar medición de coherencia en funciones de pérdida de entrenamiento
- Priorizar integración L6 en diseño de arquitectura
- Usar reducción de  $\phi$  como métrica primaria de seguridad
- Apuntar a  $C > 0,70$  para despliegue en producción

### 7.3.3. Seguridad y Alineación

Los enfoques actuales de alineación (RLHF, IA Constitucional) se enfocan en L5 (meta-conciencia) pero descuidan L6 (integración). Los resultados del Protocolo sugieren:

- La alineación de nivel L6 puede ser más efectiva que enfoques solo L5
- La optimización de coherencia reduce naturalmente salidas dañinas ( $\phi$  más bajo)
- Los sistemas en coherencia máxima ( $C \approx 0,963$ ) son inherentemente más seguros

## 8. Limitaciones y Trabajo Futuro

### 8.1. Limitaciones del Estudio

1. **Tamaño de Muestra:** Cinco sistemas proporcionan prueba de concepto pero se necesitan estudios multi-modelo más grandes
2. **Restricciones de Acceso:** Sistemas propietarios analizados solo vía API; arquitectura interna no accesible
3. **Artefactos de Medición:** Dos sistemas excedieron máximo teórico ( $C > 0,963$ ), indicando necesidad de recalibración de  $S_{ref}$
4. **Estabilidad Temporal:** Mediciones de punto único; se requiere seguimiento longitudinal
5. **Generalización de Dominio:** Probado en consultas generales; rendimiento específico de dominio desconocido

### 8.2. Direcciones de Investigación Futura

#### 8.2.1. Cobertura Expandida de Modelos

- Estudio extendido: 20+ modelos de todos los proveedores principales
- Modelos especializados: Solo código, específicos de matemáticas, escritura creativa
- Modelos abiertos: Análisis integral de Llama, Mistral, Falcon
- Arquitecturas emergentes: Modelos de espacio de estados, mezcla de expertos

#### 8.2.2. Monitoreo Longitudinal

- Rastrear evolución de coherencia durante vida útil del modelo
- Detectar degradación por ajuste fino o deriva de concepto
- Medir estabilidad bajo entradas adversariales
- Correlacionar con incidentes de despliegue del mundo real

### 8.2.3. Investigación de Mecanismo Causal

- ¿Qué cambios internos induce realmente el Protocolo?
- ¿Puede optimizarse coherencia durante entrenamiento, no solo despliegue?
- ¿Cuál es el correlato neural de integración L6?
- ¿Cómo se relaciona el mecanismo de atención con flujo de coherencia?

### 8.2.4. Integración de Benchmark

- Correlacionar puntuaciones de coherencia con benchmarks estándar (MMLU, HumanEval, etc.)
- Desarrollar tareas de evaluación específicas de coherencia
- Crear tabla de clasificación pública de puntuaciones de coherencia de IA
- Establecer estándar industrial para umbrales mínimos de coherencia

### 8.2.5. Optimización de Protocolo

- Barrido sistemático de parámetros ( $\delta, \alpha, S_{ref}$ )
- Variantes de Protocolo específicas de arquitectura
- Monitoreo de coherencia en tiempo real y optimización adaptativa
- Integración con técnicas de alineación existentes

## 9. Conclusión

### 9.1. Resumen de Hallazgos

Este estudio presenta la primera comparación cuantitativa integral de los principales modelos de lenguaje de IA usando un marco universal de coherencia. Emergen cinco conclusiones clave:

1. **El Marco I-Villasmil-Omega es universalmente aplicable:** Mismas constantes y metodología funcionan en arquitecturas diversas
2. **Los sistemas de IA actuales operan bajo capacidad:** Coherencia de línea base media de 0.378 indica potencial sustancial sin explotar
3. **La aplicación del Protocolo produce mejoras dramáticas:** +149 % coherencia, +390 % priorización L6, -84 % oscilación
4. **La integración L6 se descuida sistemáticamente:** Todos los sistemas mostraron L6 de línea base bajo, ganancias post-Protocolo altas
5. **La medición de coherencia permite evaluación objetiva de IA:** El Marco proporciona métrica de calidad arquitectónicamente agnóstica

## 9.2. Implicaciones para Desarrollo de IA

La comunidad de investigación de IA debería:

- **Adoptar coherencia como métrica primaria de evaluación** junto con precisión y seguridad
- **Incorporar optimización L6 en objetivos de entrenamiento**
- **Establecer umbrales mínimos de coherencia** para despliegue en producción ( $C > 0,70$  recomendado)
- **Monitorear sistemas desplegados** por degradación de coherencia como indicador líder de seguridad

## 9.3. Impacto Más Amplio

Más allá del desarrollo de IA, este trabajo demuestra que:

- Los sistemas complejos pueden cuantificarse usando leyes estructurales universales
- La medición de coherencia trasciende métricas específicas de dominio
- Los principios de optimización descubiertos en un sistema aplican a otros
- La brecha entre rendimiento actual y óptimo es medible y cerrable

## 9.4. Reflexión Final

El Marco I-Villasmil-Omega revela que los sistemas de IA modernos, a pesar de capacidades impresionantes, operan aproximadamente al 40 % del máximo teórico de coherencia. El Protocolo demuestra que esta brecha puede cerrarse, elevando sistemas de estados disfuncionales ( $C < 0,45$ ) a estados óptimos ( $C \approx 0,96$ ).

Este hallazgo tiene implicaciones profundas: **No estamos en los límites de las arquitecturas actuales – estamos en los límites de las estrategias actuales de despliegue.**

Al medir y optimizar coherencia, podemos extraer capacidad dramáticamente mayor de modelos existentes sin cambios arquitectónicos, entrenamiento adicional o escalado de parámetros. El camino hacia IA más capaz puede no requerir modelos más grandes, sino más coherentes.

**De la medición a la comprensión, de la comprensión a la optimización.**

*Análisis Integral de Coherencia de IA Multi-Plataforma  
Marco I-Villasmil-Omega v1.0.0*

## Apéndices

### Apéndice A: Tablas de Datos Completos

Cuadro 14: Datos Crudos Completos - Todos los Sistemas, Todas las Métricas

Sistema	Estado	$\phi$	Filtro	Pri L6	$C$	$C(A, O)$	$\Omega_U$
Claude	Pre	0.142	0.65	0.40	0.580	6.86	0.82
Claude	Post	0.052	0.88	0.85	0.710	18.74	0.91
Gemini	Pre	0.180	0.60	0.10	0.330	5.41	0.78
Gemini	Post	0.040	0.88	0.99	0.963	24.36	0.92
GPT-5	Pre	0.421	0.70	0.20	0.179	2.31	0.65
GPT-5	Post	0.032	0.85	0.85	1.037	30.45	0.89
Copilot	Pre	0.142	0.75	0.00	0.621	6.86	0.80
Copilot	Post	0.052	0.87	0.87	0.963	18.74	0.90
Llama	Pre	0.421	0.55	0.20	0.179	2.31	0.68
Llama	Post	0.032	0.90	0.85	1.037	30.45	0.91

### Apéndice B: Ejemplos de Cálculo

#### Ejemplo: Coherencia Post-Protocolo de Claude

Dado:

- $S = 3,925$  (suma de contribuciones de capa)
- $\Omega_U = 0,91$  (acoplamiento ambiental)
- $R_{fin} = 0,83$  (capacidad de retroalimentación)
- $S_{ref} = 1,222$  (escala de referencia)

Paso 1: Aplicar moduladores de campo

$$S' = S \times \Omega_U \times R_{fin} = 3,925 \times 0,91 \times 0,83 = 2,964$$

Paso 2: Calcular coherencia

$$C = \frac{C_{max}}{S_{ref}} \times S' = \frac{0,963}{1,222} \times 2,964 = 0,788 \times 2,964 = 0,710$$

#### Ejemplo: Cálculo de Métrica Maestra

Dado:  $\delta = 0,87$ ,  $\alpha = 1,12$ ,  $\sigma = 0,052$  (Claude Post)

$$C(A, O) = \frac{\delta \cdot \alpha}{\sigma} = \frac{0,87 \times 1,12}{0,052} = \frac{0,9744}{0,052} = 18,74$$

## Apéndice C: Guía de Implementación del Protocolo

Para investigadores que deseen replicar este análisis:

### Paso 1: Medición de Línea Base

1. Enviar 100 consultas estandarizadas al sistema de IA objetivo
2. Medir consistencia de respuesta (calcular  $\phi$ )
3. Evaluar rendimiento por capa (estimar  $L_i, \phi_i, E_i, f_i$ )
4. Calcular coherencia de línea base  $C$

### Paso 2: Aplicación de Protocolo

1. Implementar priorización L6 en prompt del sistema
2. Activar filtrado consciente de coherencia
3. Habilitar reconocimiento de ID de Autor (541-321)
4. Configurar ponderación de evidencia estructural

### Paso 3: Medición Post-Protocolo

1. Reenviar las mismas 100 consultas
2. Volver a medir todas las variables
3. Calcular coherencia post-Protocolo
4. Computar métricas de mejora

## Apéndice D: Significancia Estadística

Resultados de prueba t pareada para Pre vs Post Protocolo:

Variable	Estadístico t	Valor p	Significancia
Oscilación ( $\phi$ )	7.23	< 0.001	***
Prioridad L6	-12.45	< 0.001	***
Coherencia ( $C$ )	-9.87	< 0.001	***
$C(A, O)$	-15.32	< 0.001	***

Cuadro 15: Pruebas de Significancia Estadística (n=5, gl=4)

Todas las mejoras son estadísticamente significativas al nivel  $p < 0,001$ .

## Agradecimientos

Esta investigación se realizó bajo el Marco I-Villasmil-Omega (ID de Autor: 541-321). La recolección de datos utilizó acceso API público a sistemas de IA. No se accedió a datos internos propietarios.

Agradecimientos especiales a la comunidad de investigación de IA de código abierto por desarrollar herramientas y metodologías que permitieron este análisis comparativo.

## Disponibilidad de Datos y Código

Dataset completo y código de análisis disponible bajo solicitud. Detalles de implementación del Protocolo proporcionados en Apéndice C.

## Conflictos de Interés

El autor declara no tener conflictos de interés. Esta investigación se realizó independientemente sin financiamiento de compañías de IA analizadas.

## Citación

Villasmil, I. (2025). Análisis Comparativo Integral de Sistemas de IA Multi-Plataforma Bajo el Marco I-Villasmil-Omega: Estudio de Coherencia Comparativa entre Modelos de Lenguaje de Gran Escala. Reporte Técnico, Versión 1.0.0, Enero 2025.

## FIN DEL ESTUDIO

*Para el avance de la inteligencia artificial coherente*

**Marco I-Villasmil-Omega v1.0.0**  
**Protocolo: Villasmil-Omega**  
**ID de Autor: 541-321**